

Nom du fichier RINEX

Produits utilisés :
éphémérides et correction
d'horloge (FINAUX, RAPIDES
ou ULTRA-RAPIDES)

Traitement en mode cinématique

Traitement monofréquence ou
bifréquence

NOUVEAU pour la version 3
Pourcentage des observations de
phase porteuse avec ambiguïtés fixées

Décalage (par fréquence) du
centre de phase (CPA) au point
de référence de l'antenne (PRA)
utilisé par SCRS-PPP. Dépend du
modèle d'antenne fourni dans
l'entête du fichier RINEX



SCRS-PPP 3.45.0 (2020-07-08)



Exemple_Cinematique.200

Début des données
2020-08-01 13:35:13.00
Heure de traitement
14:15:05 UTC 2020/08/12
Observations
Porteuse et pseudo-distance
Masque d'élévation
7.5 degrés
Antenne
ASH701975.01A

Fin des données
2020-08-01 17:21:35.00

Durée des observations
3:46:22

Fréquence
Double

Type de produits
rapide

Mode
Cinématique

Données rejetées
5.81 %

Ambiguïtés fixées
0.00 %

Intervalle des estimés
1.00 sec

CPA au PRA
L1 = 0.038 m L2 = 0.055 m

PRA au Repère
H:1.770m / E:0.000m / N:0.000m

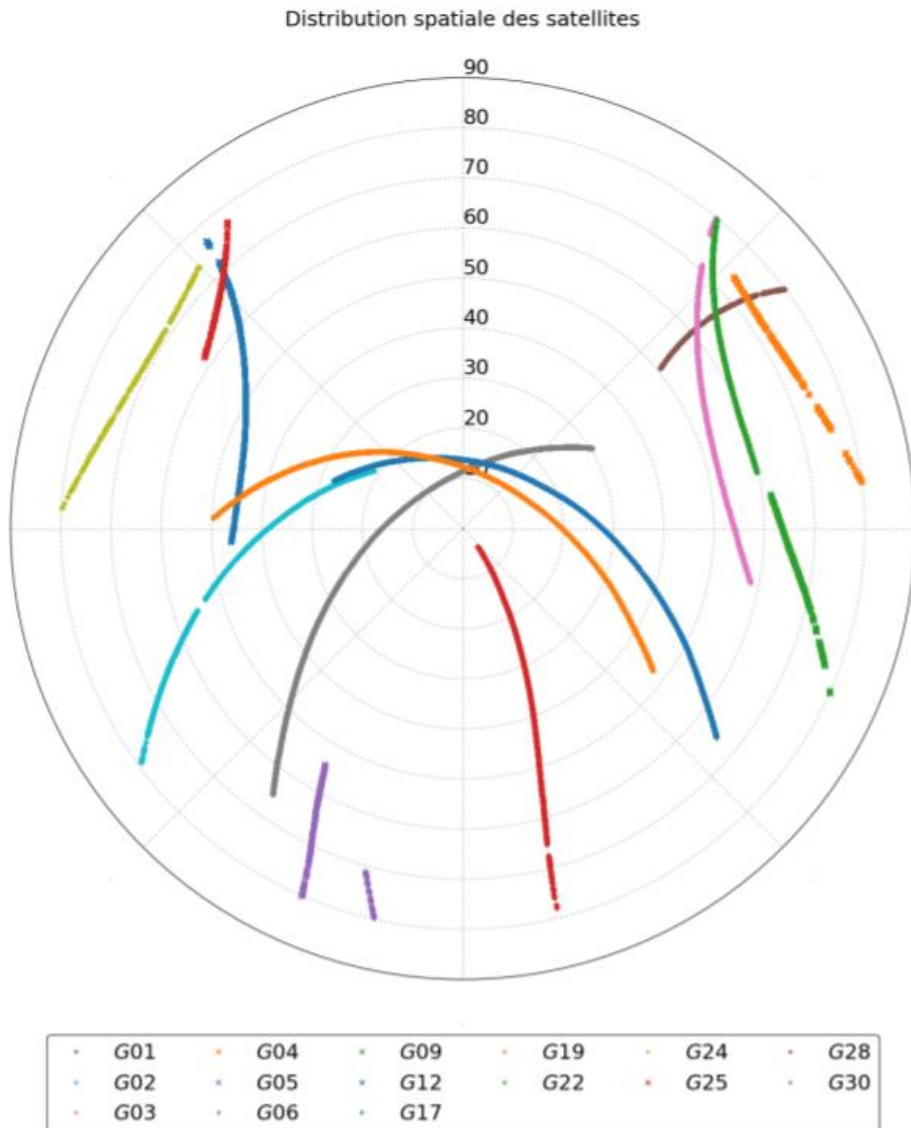
(CPA = centre de phase de l'antenne; PRA = point de référence de l'antenne)

Les positions NAD83 estimées pour Exemple_Cinematique.200 se trouvent dans le fichier Exemple_Cinematique.pos

Distance du point de référence de l'antenne(PRA) au point mesuré. Fournis par l'utilisateur à partir de l'entête du fichier RINEX au champ : "ANTENNA: DELTA H/E/N". Le PRA est généralement le bas du support d'antenne.

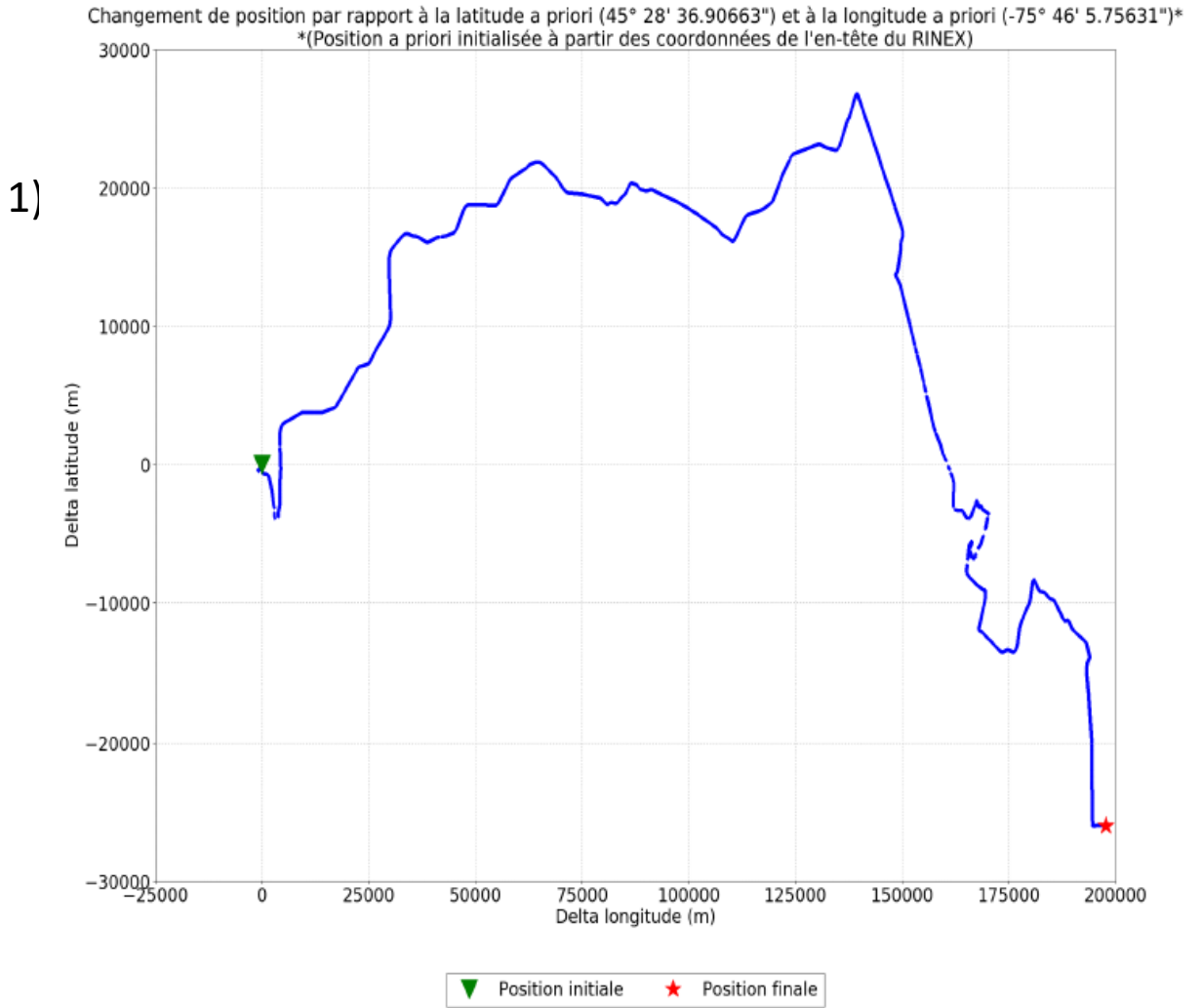
Page 2 – Distribution des satellites dans le ciel

La figure montre les trajets de chaque satellite dans le ciel relativement à l'antenne. Le centre de cette projection polaire représente le zénith et le cercle extérieur de la figure représente l'horizon. Le Nord dans cette figure est orienté vers le haut de la page.



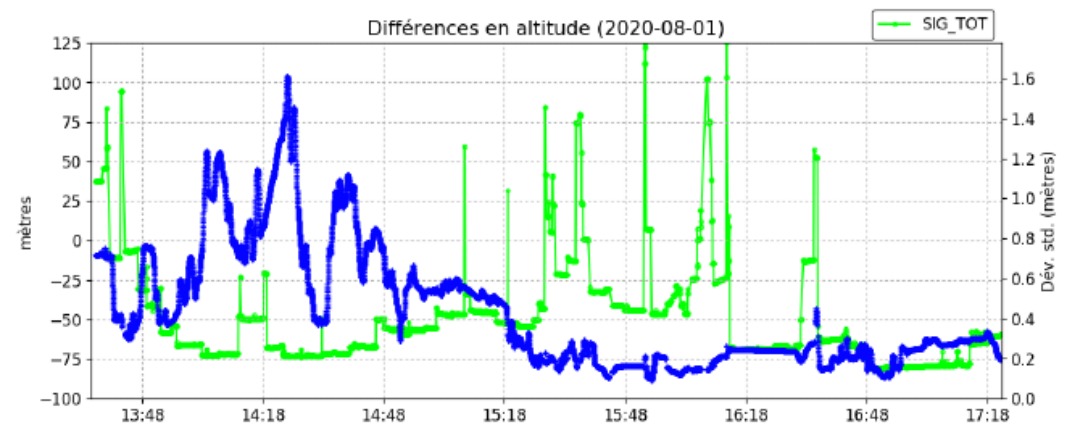
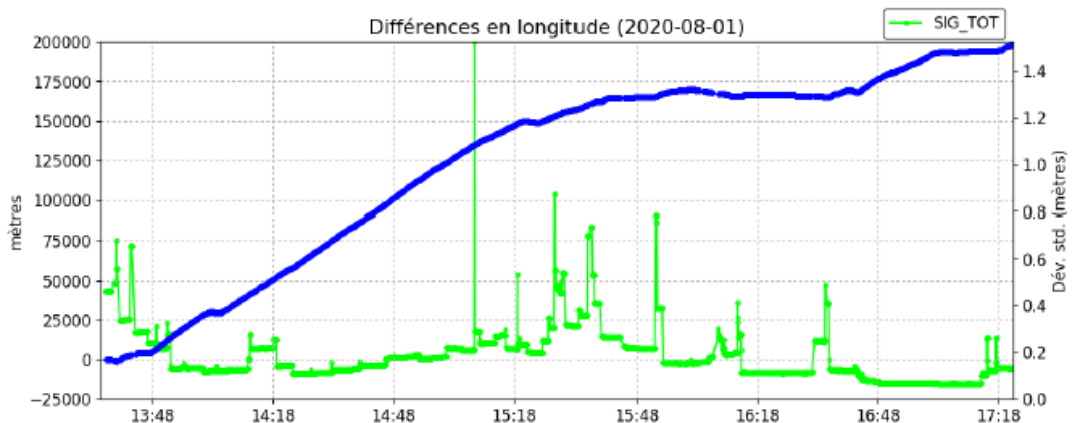
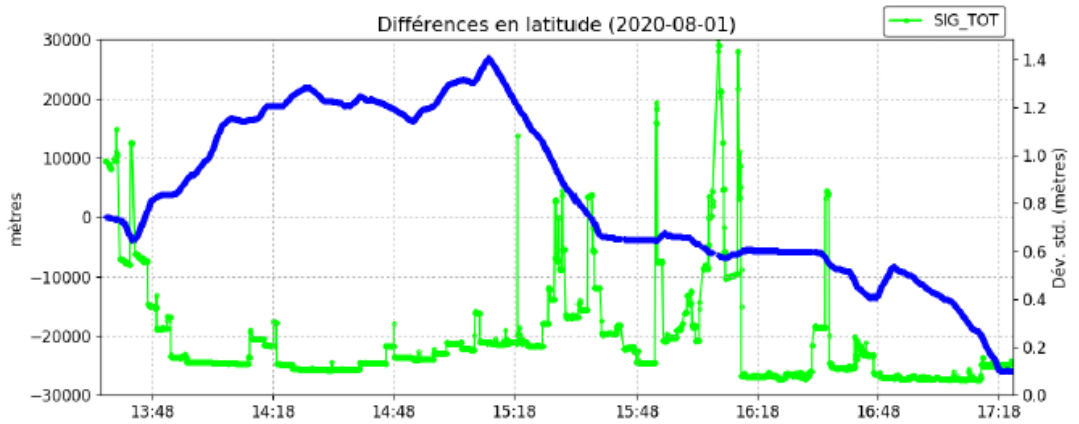
Page 3 – Déplacement

- 1) Le déplacement horizontal par rapport à la position a priori
- 2) Variation de l'altitude ellipsoïdale



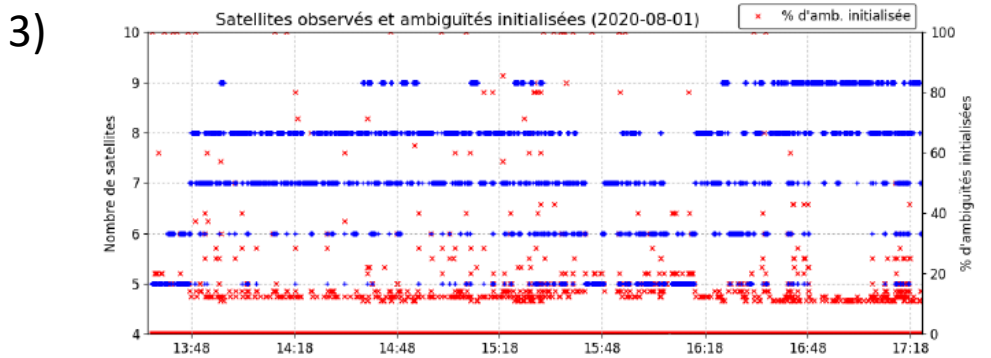
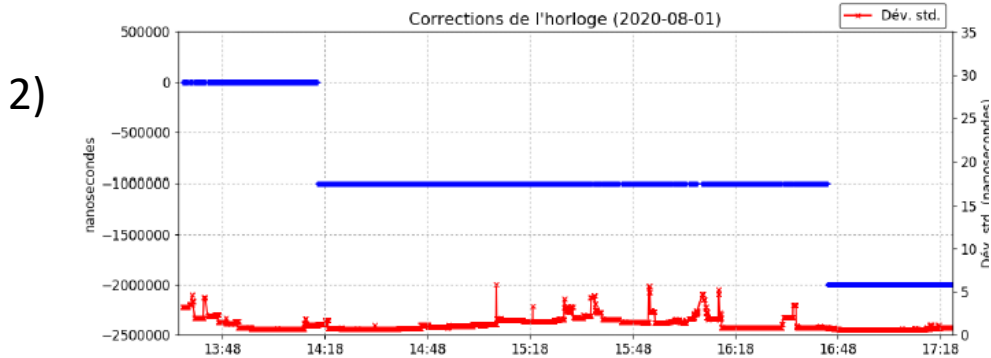
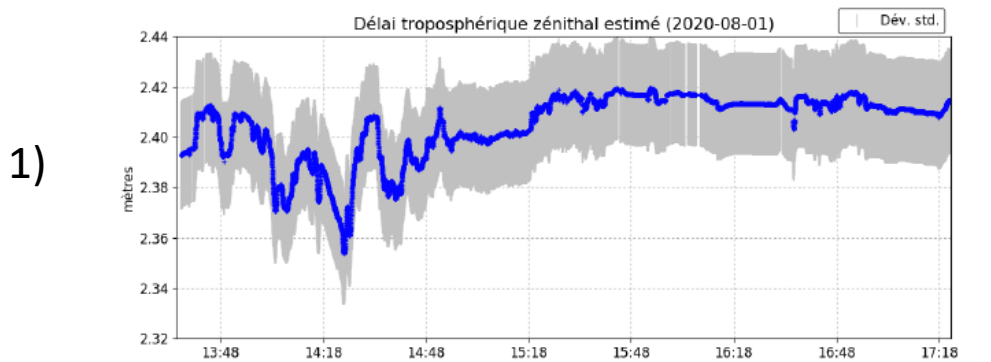
Page 4 – Différences en Latitude / Longitude / Altitude

Les figures montrent les séries temporelles des différences entre la position a priori et les positions estimées (avec lissage arrière) pour chaque époque. La position a priori est initialisée à partir de l'entête du fichier RINEX ou à partir d'une solution de pseudo-distances. Les courbes vertes montrent les écarts types (95%) totaux incluant les incertitudes dues aux transformations d'époque, s'il y a lieu.



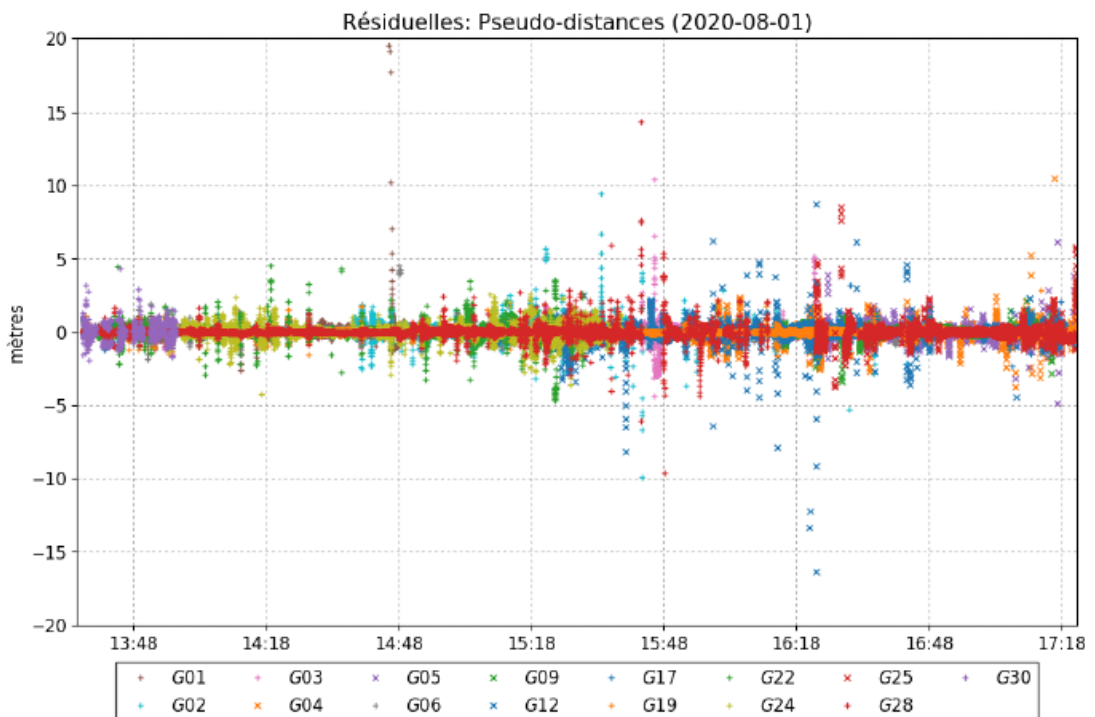
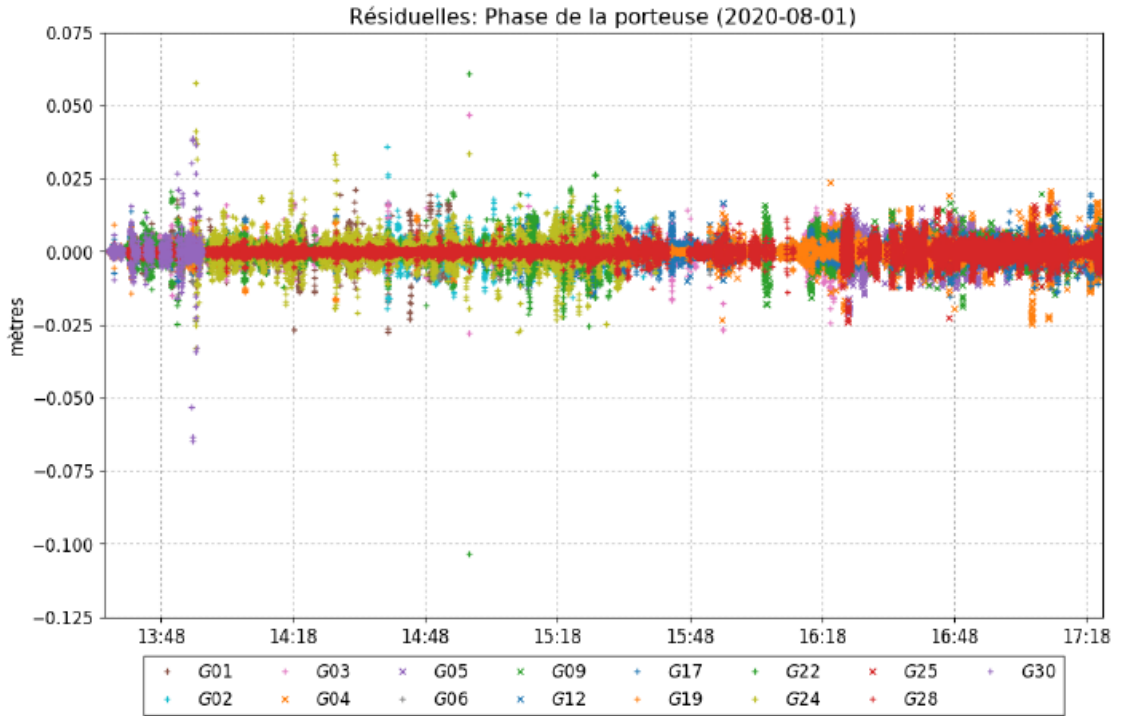
Page 5 – Délai troposphérique zénithal estimé / Corrections de l'horloge / Satellites observés et Ambiguïtés initialisées

- 1) La figure “Délai troposphérique zénithal estimé” montre les corrections troposphériques totales estimées dans la direction du zénith pour chaque époque.
- 2) La figure “Corrections de l'horloge” montre le décalage d'horloge entre l’horloge du récepteur et le temps GPS estimé pour chaque époque.
- 3) La figure “Satellites observés et ambiguïtés initialisées” montre le nombre de satellites observés en bleu et le pourcentage d’ambiguïtés initialisées en rouge.



Page 6 – Résiduelles de la phase de la porteuse / Résiduelles des pseudo-distances

Ces figures montrent les résiduelles de la phase de la porteuse et les résiduelles des pseudo-distances estimées pour chaque satellite à chaque époque.



Page 7 – Statut des ambiguïtés de phase (*NOUVEAU pour la version 3*)

Cette figure montre le statut des paramètres estimés pour chaque satellite à chaque époque :

Ambiguïtés résolues (vert) : les ambiguïtés entières qui sont validées par les algorithmes du logiciel sont indiqués en vert

Ambiguïtés non-résolues (jaune) : les ambiguïtés non résolues sont en jaune

Ambiguïtés de référence (cyan) : pour estimer les paramètres des biais de phase du filtre PPP, le filtre doit fixer a priori un certain nombre d'ambiguïtés. Ces ambiguïtés sélectionnées sont appelées ambiguïtés de référence.

Nouvel arc (rouge) : lorsqu'un nouveau paramètre d'ambiguïtés est initialement observé, ce dernier est représenté en rouge

